

FIG. 1

2/23

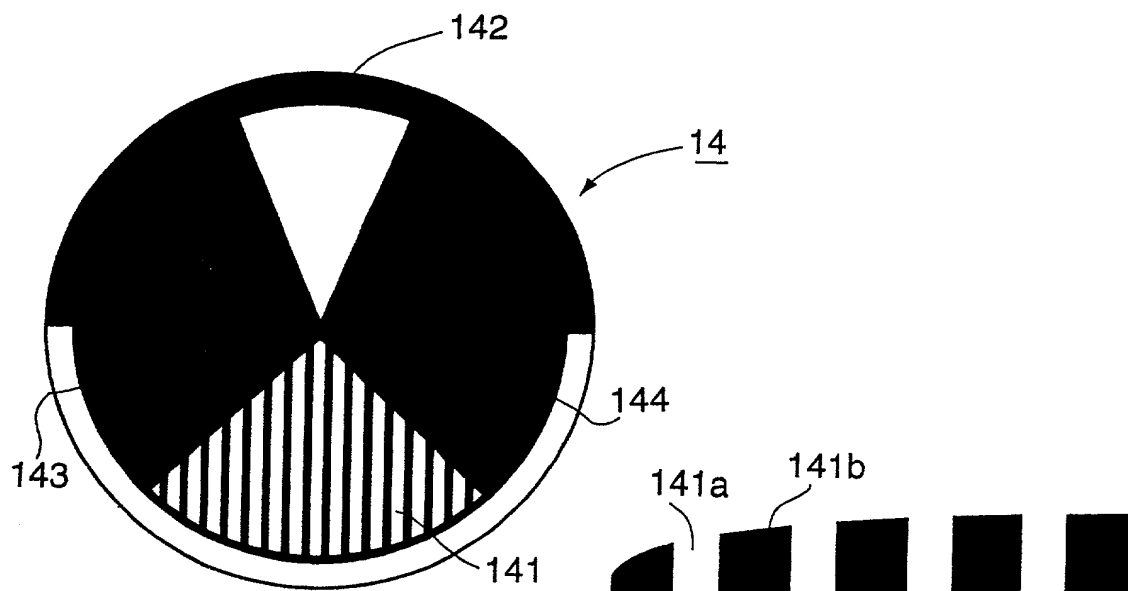
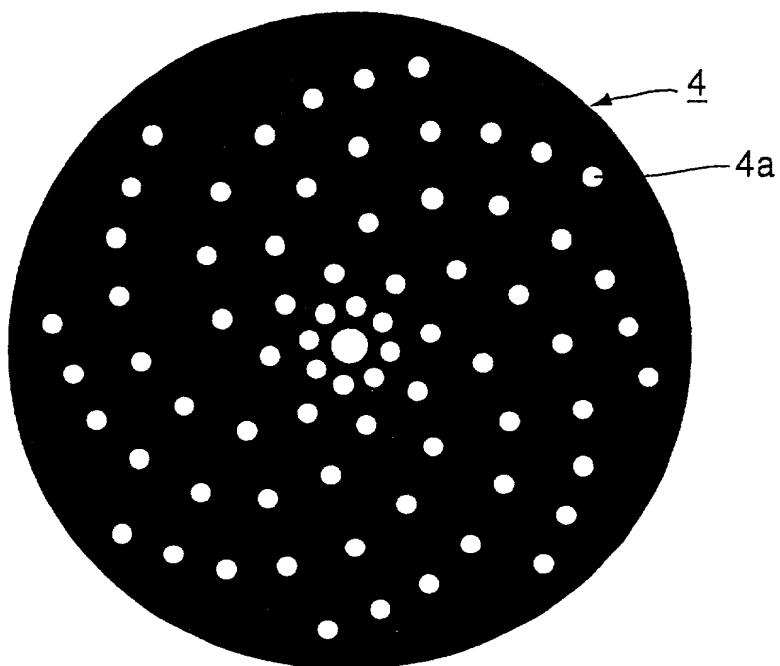
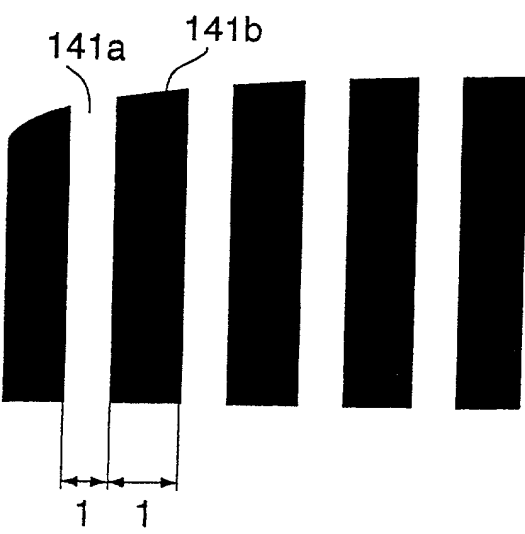


FIG. 3B



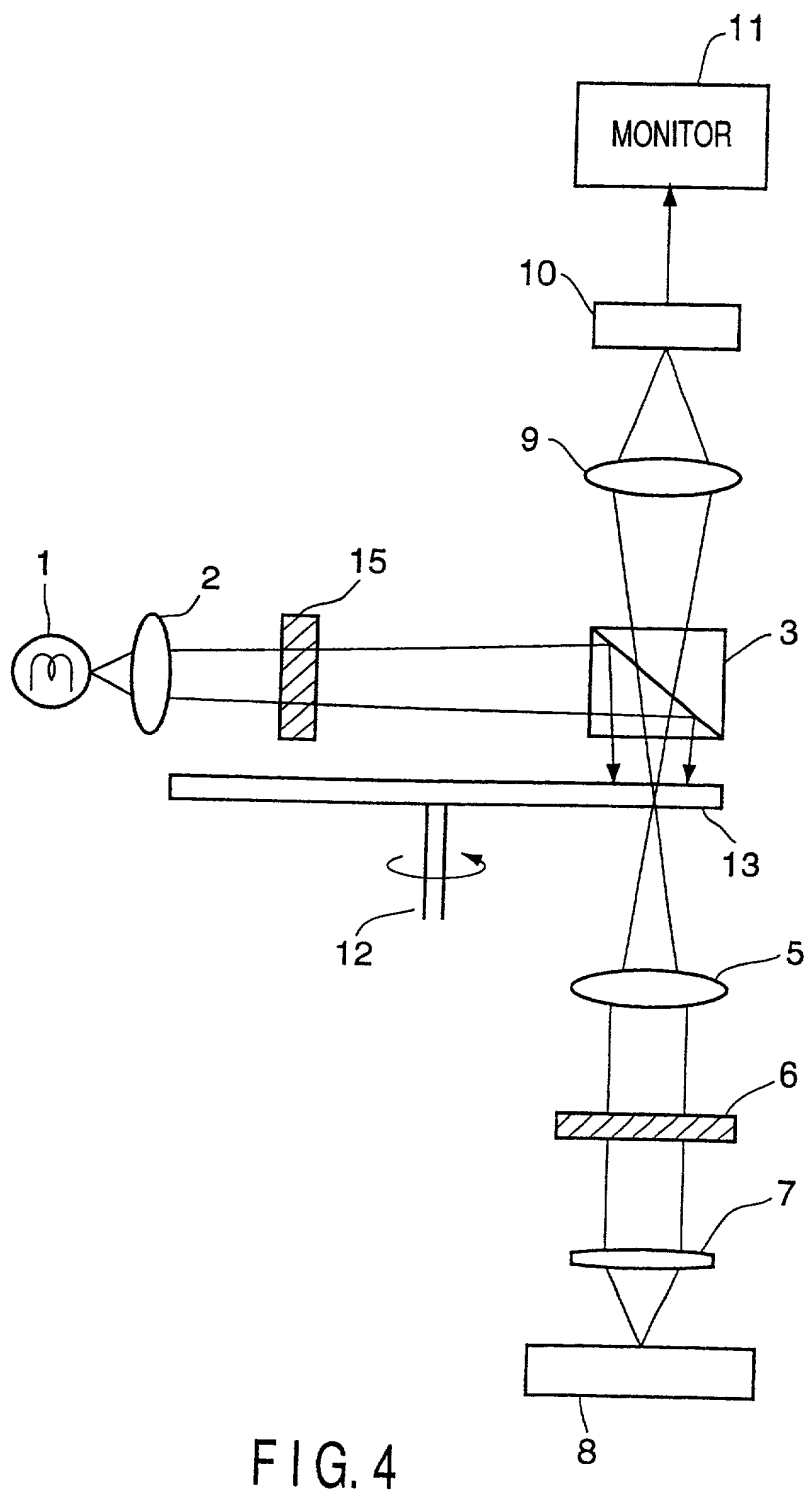


FIG. 4

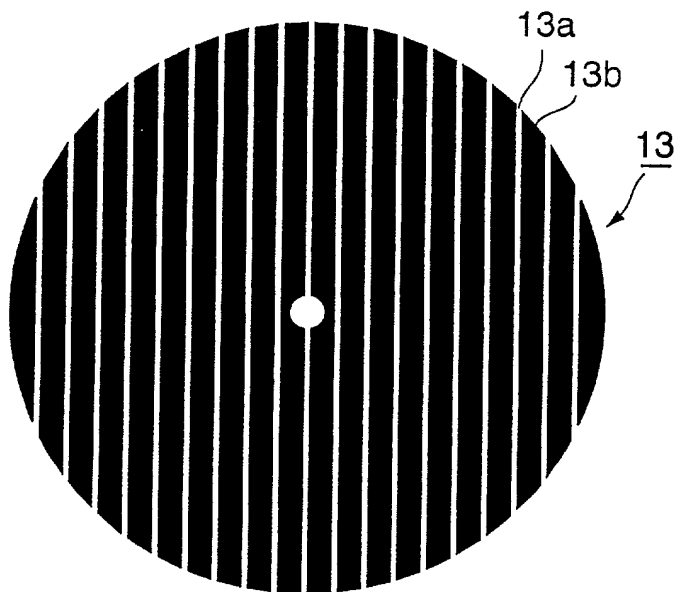


FIG. 5A

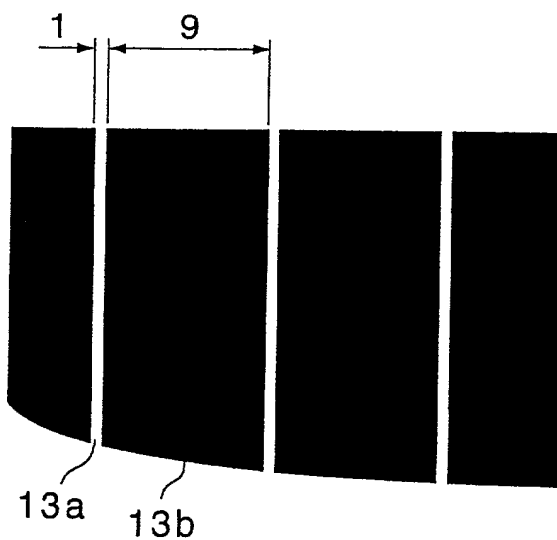


FIG. 5B

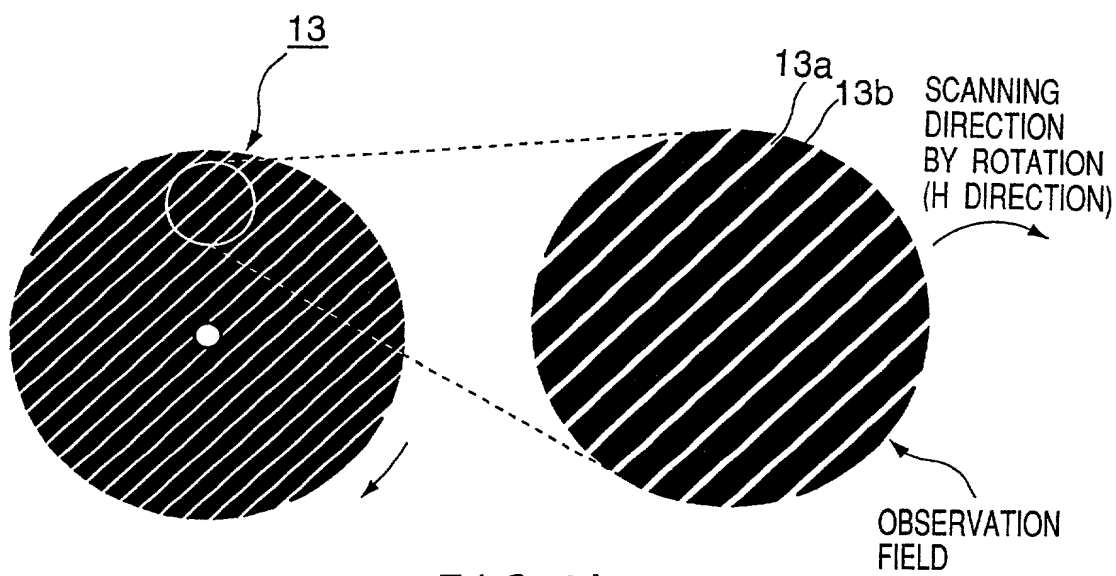


FIG. 6A

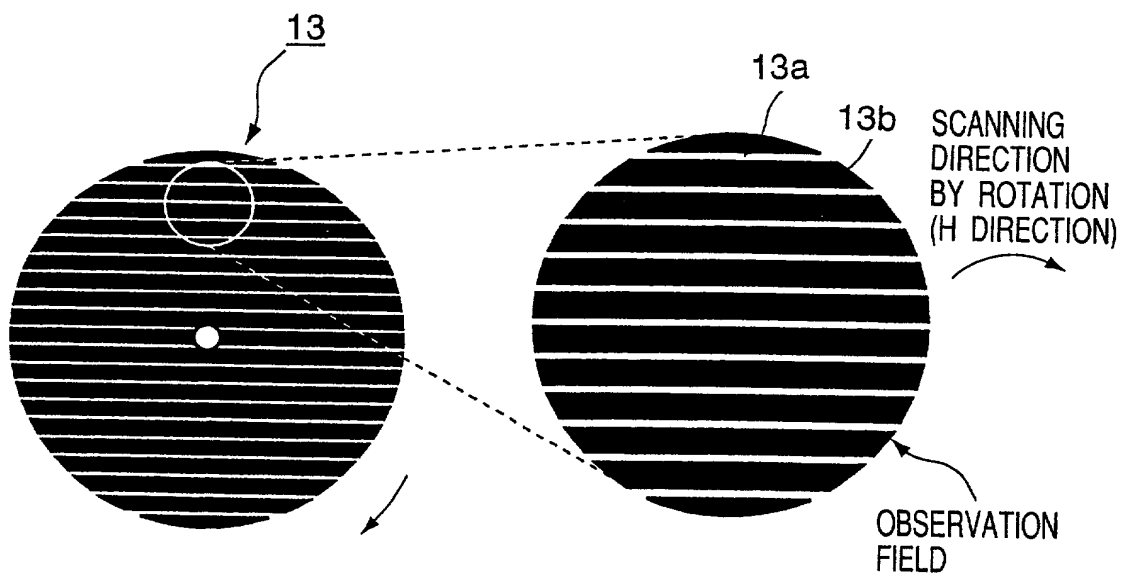


FIG. 6B

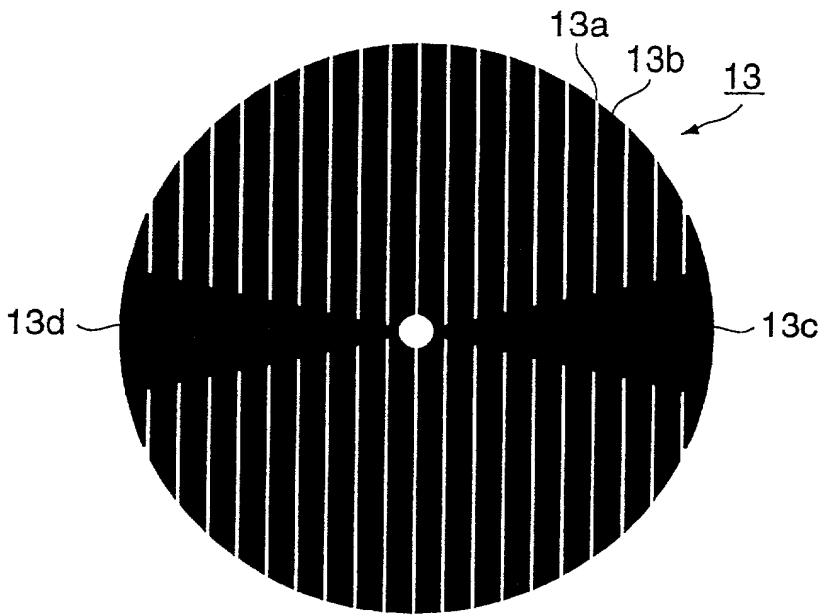


FIG. 7

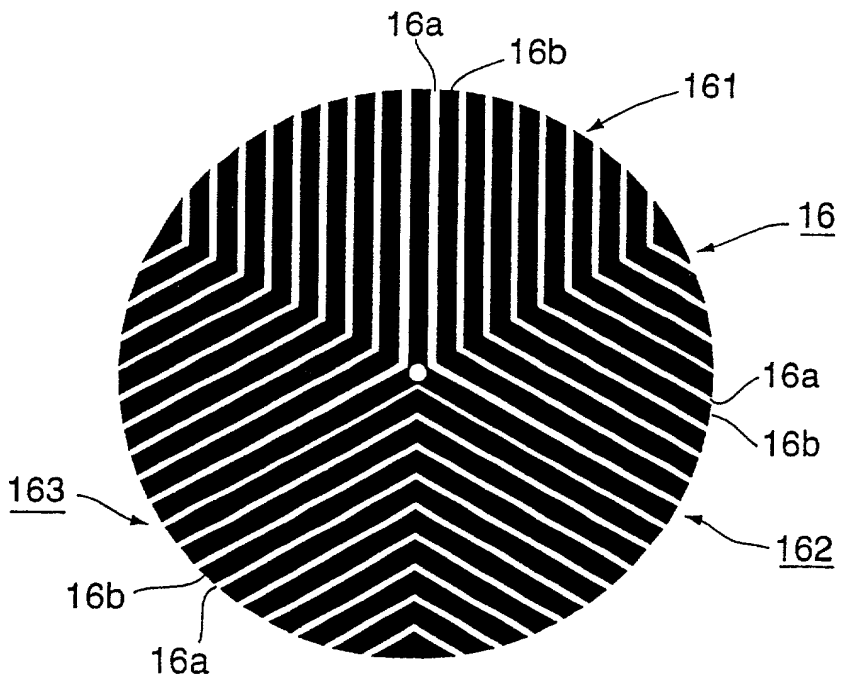


FIG. 8

7/23

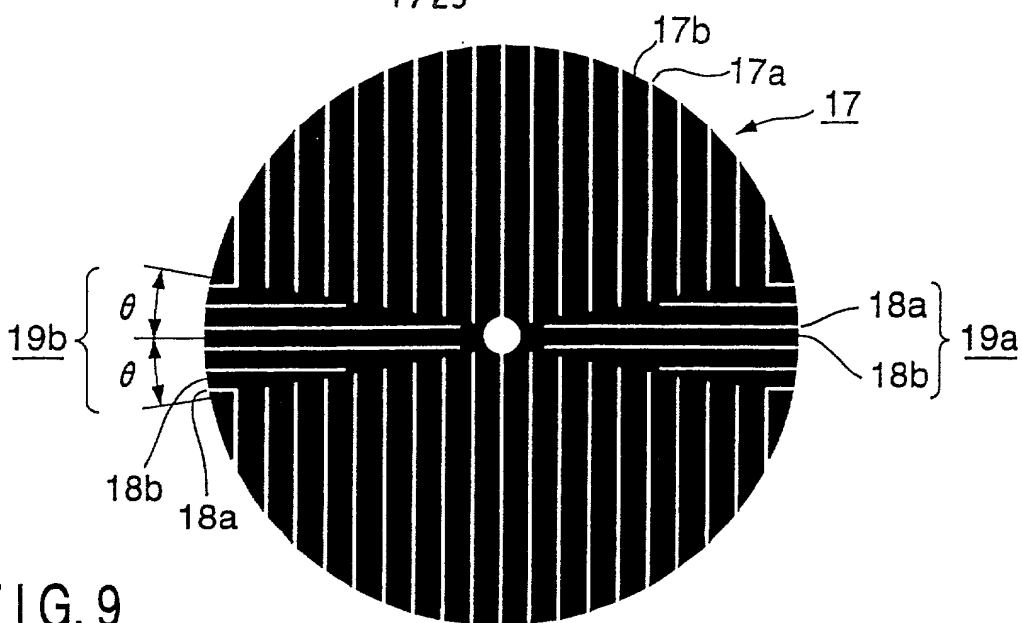


FIG. 9

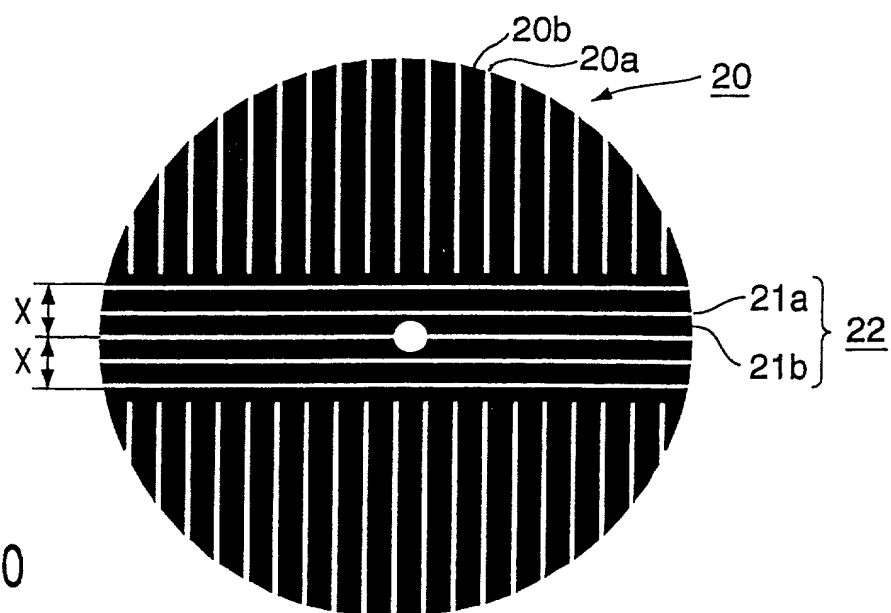


FIG. 10

R [mm]	θ [°]	X [mm]
20	10.5	3.64471
30	7	3.65608
40	5.2	3.625303
50	4.2	3.66191
60	3.5	3.662912
70	3	3.663517

FIG. 11

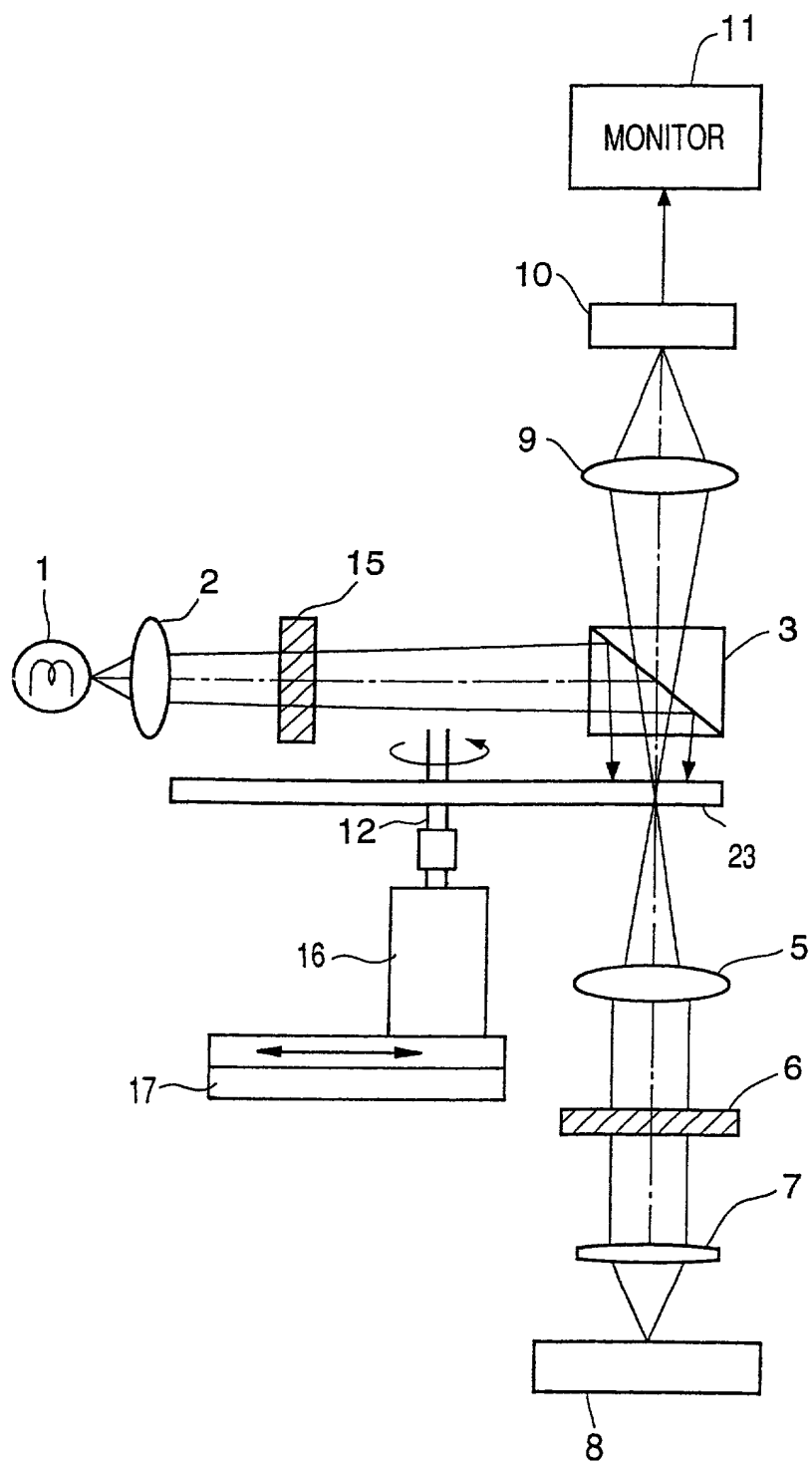


FIG. 12

MOVEMENT OF OBSERVATION FIELD

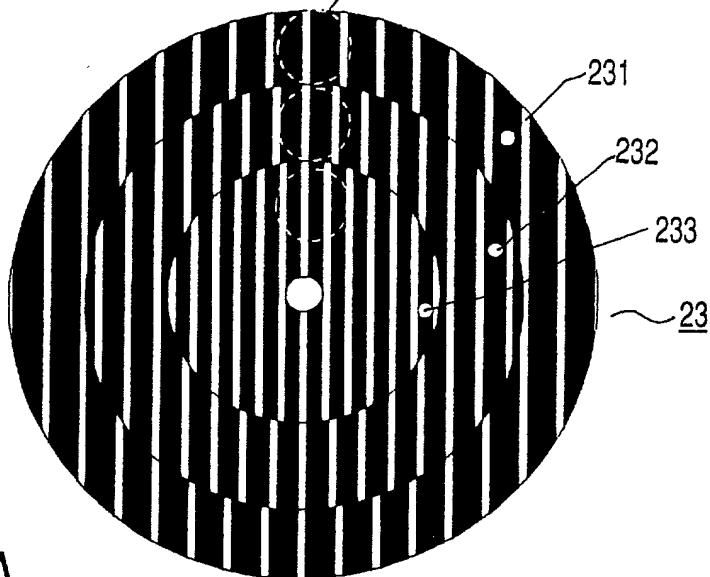


FIG. 13A

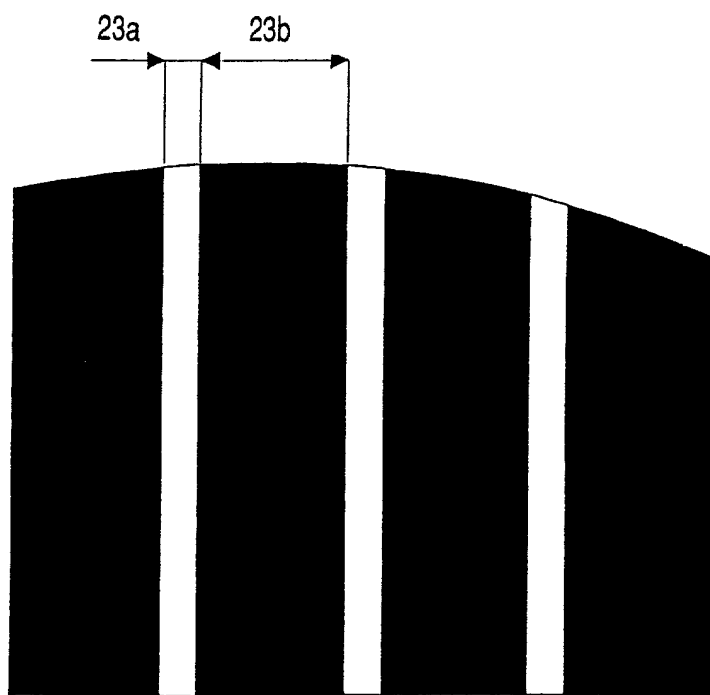


FIG. 13B

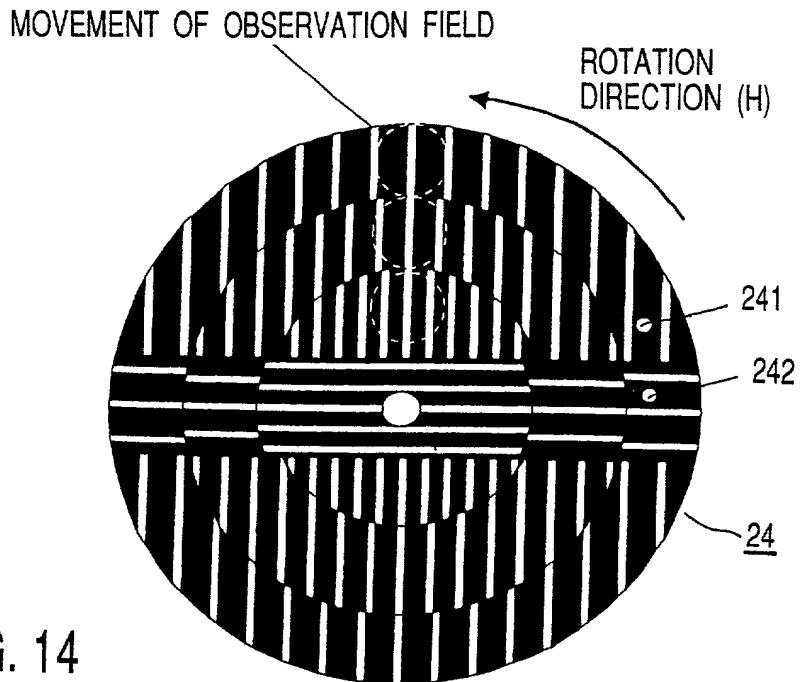


FIG. 14

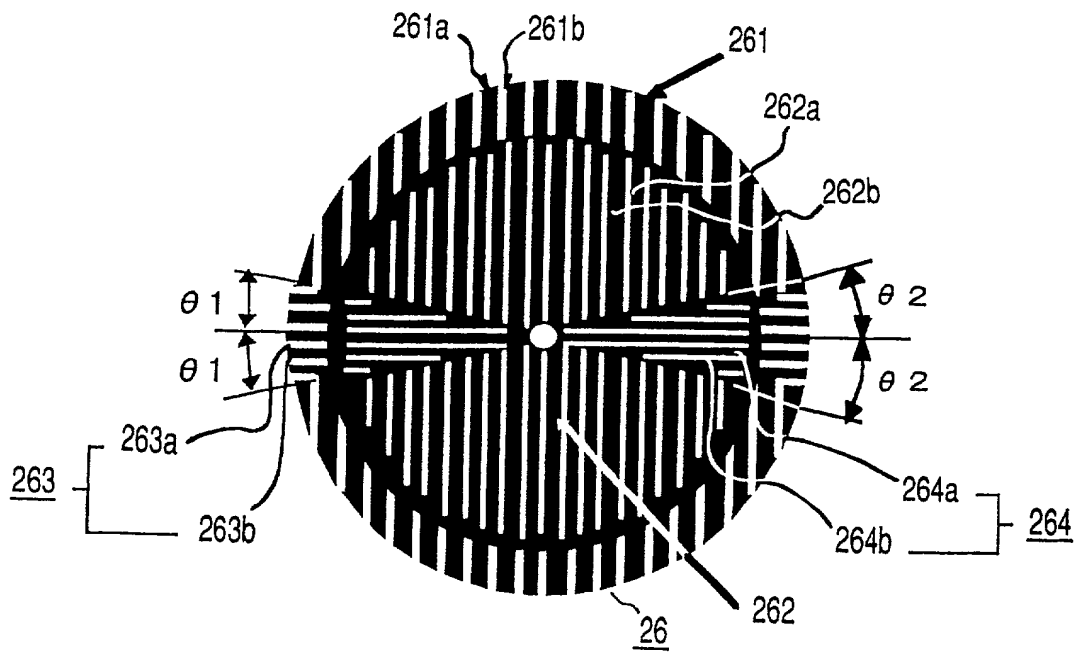


FIG. 16

11/23

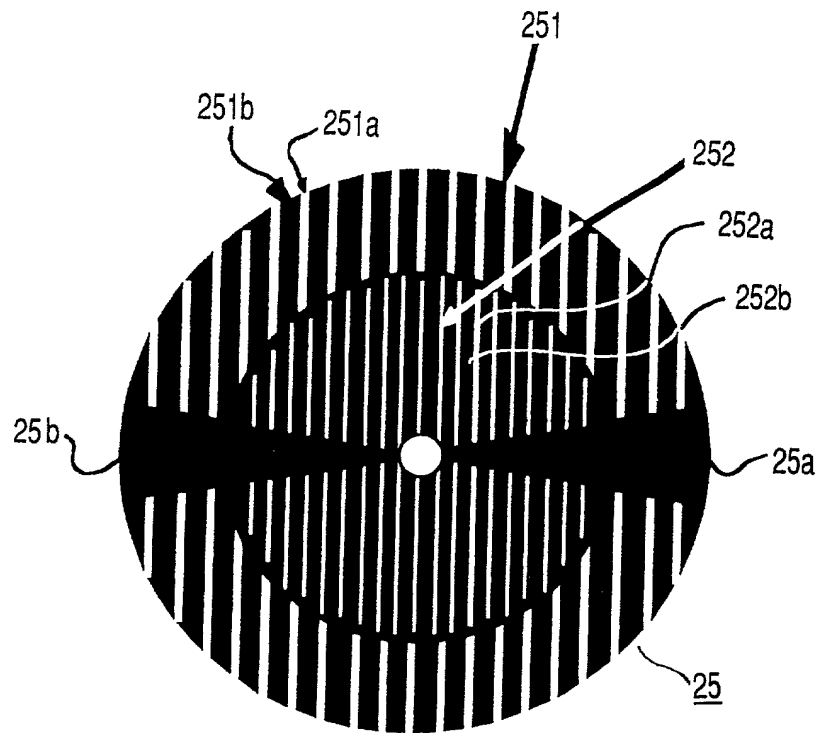


FIG. 15A

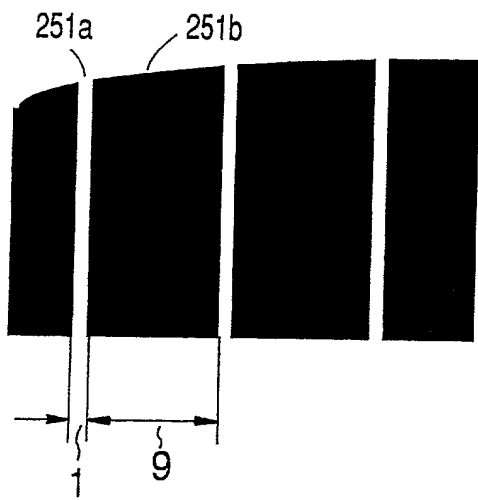


FIG. 15B

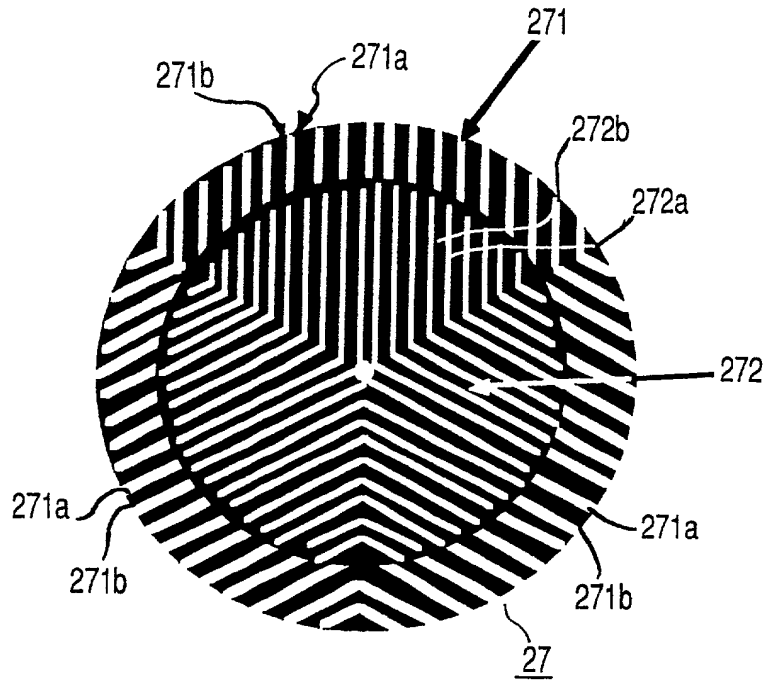


FIG. 17

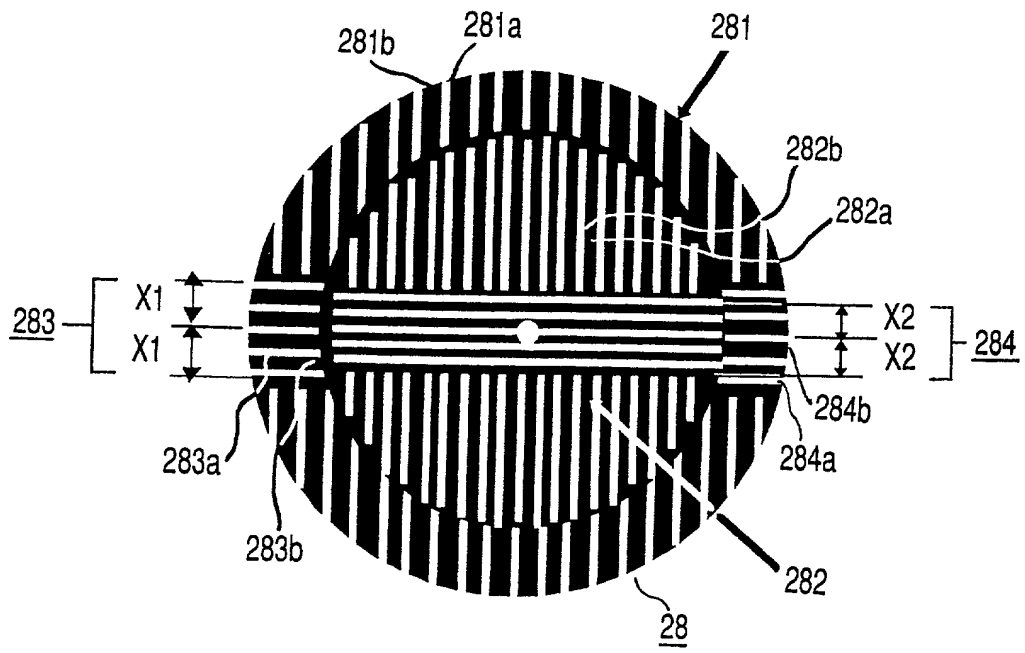


FIG. 18

13/23

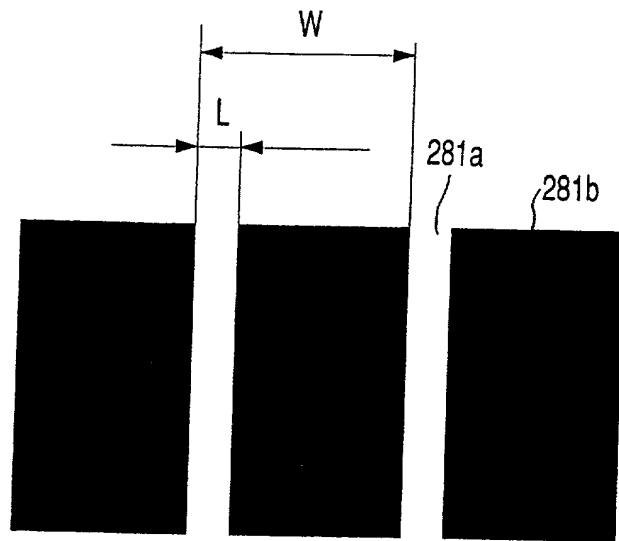


FIG. 19

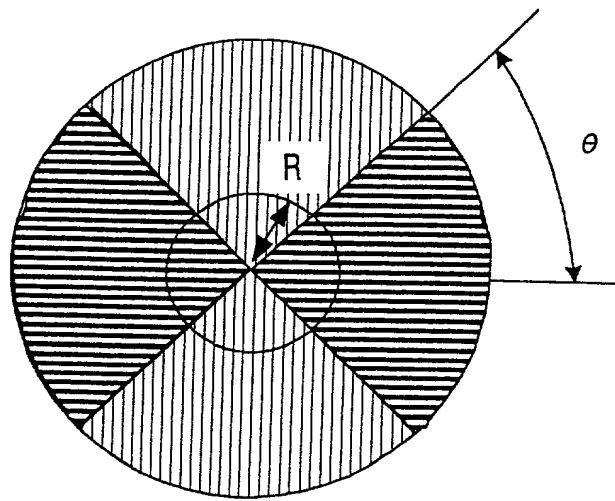
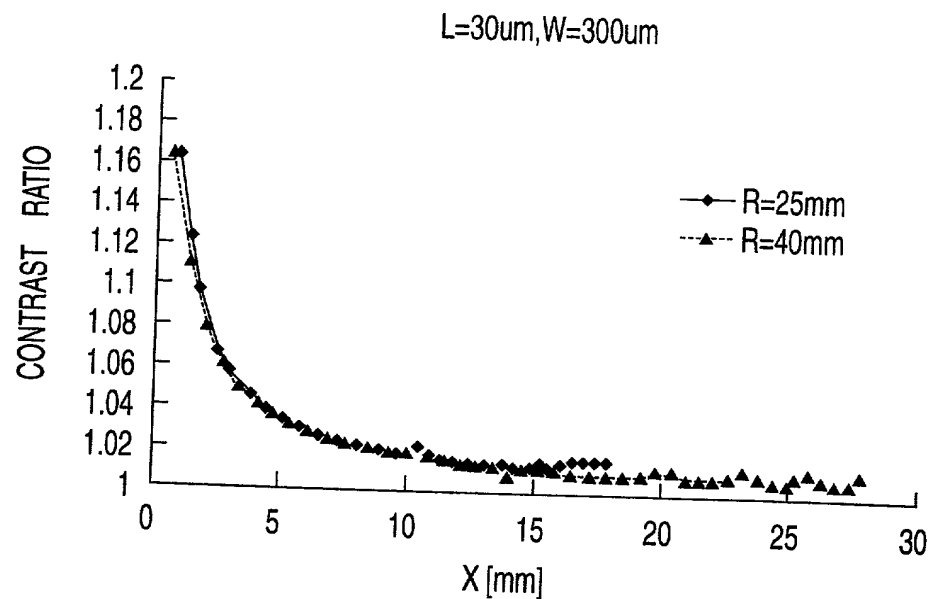
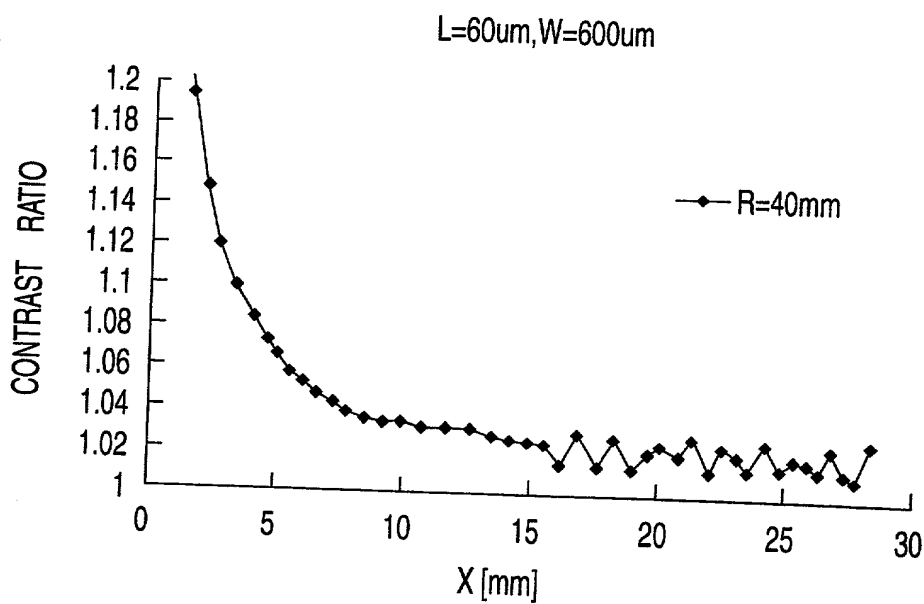


FIG. 20



F I G . 21



F I G . 22

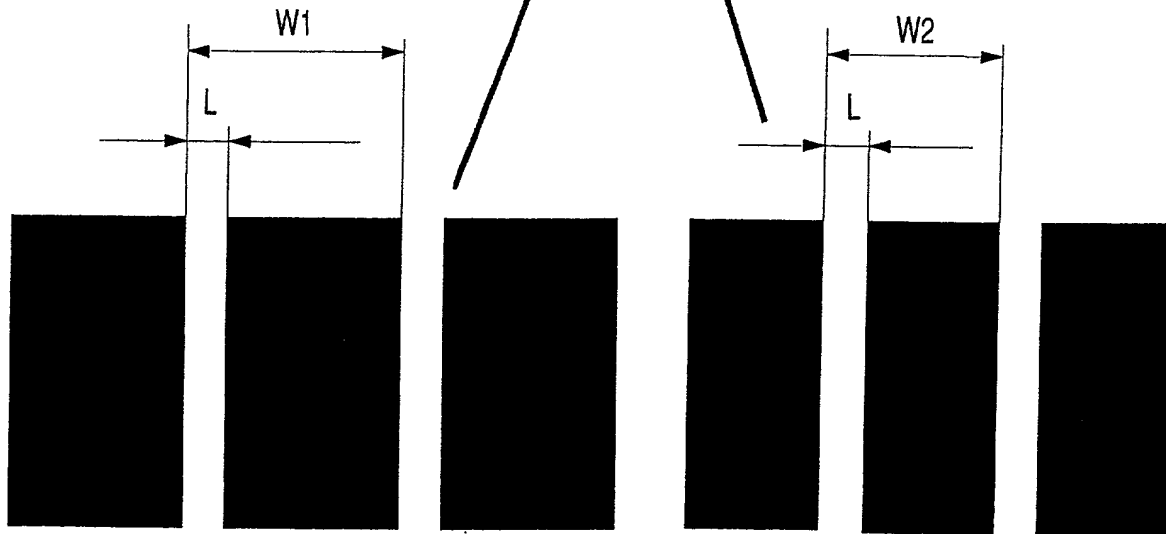
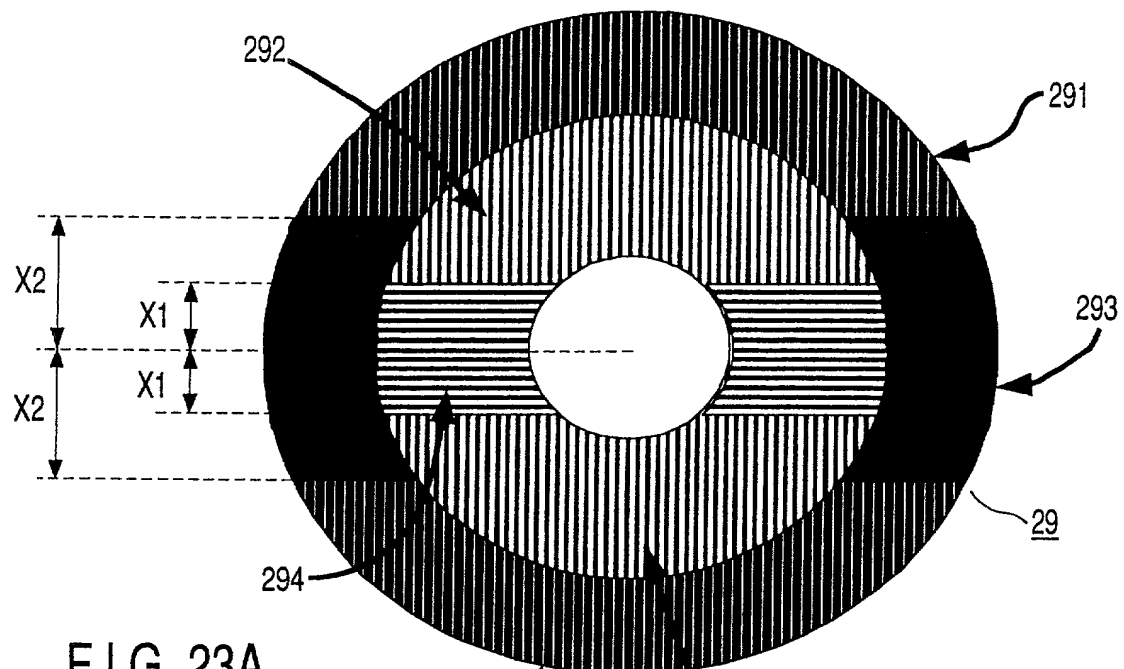
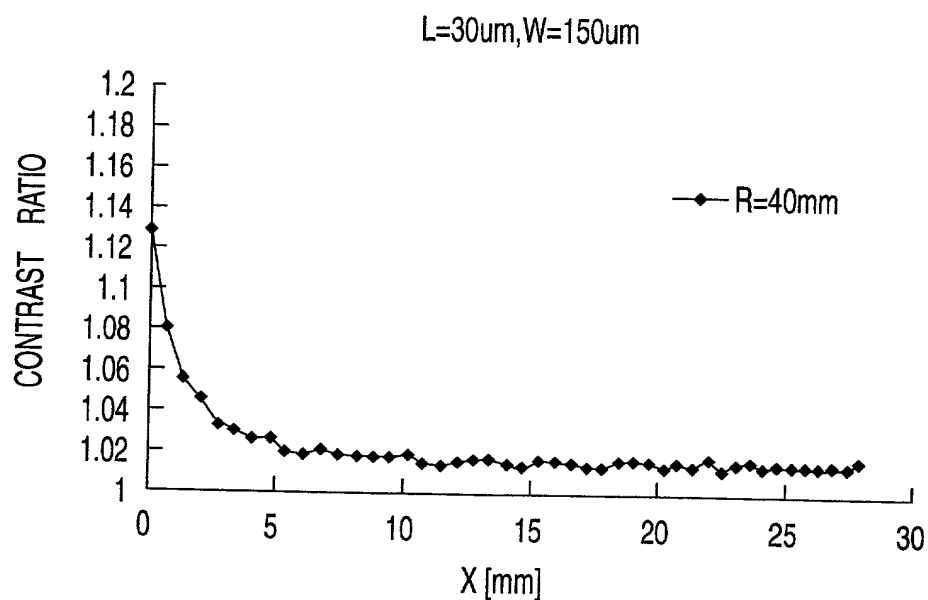
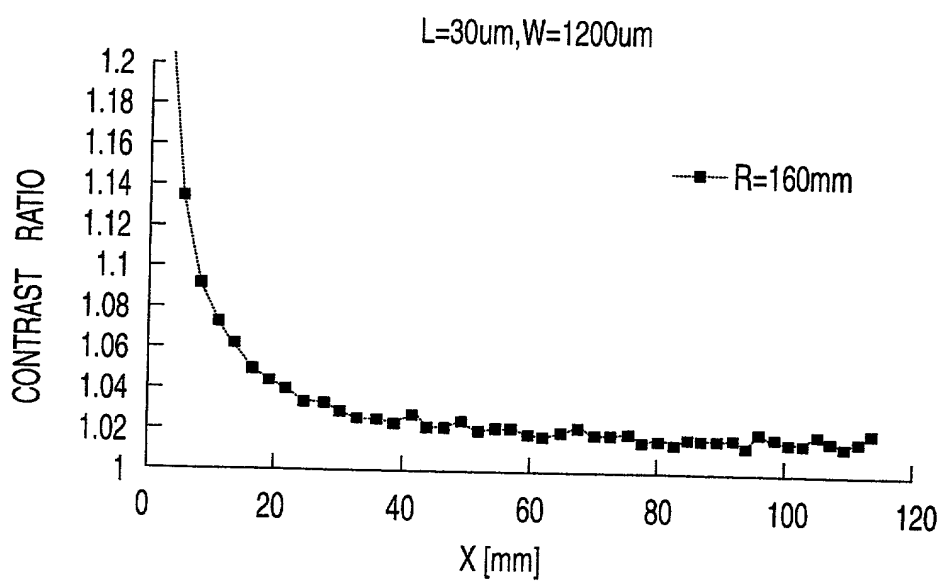


FIG. 23B



F I G .24



F I G .25

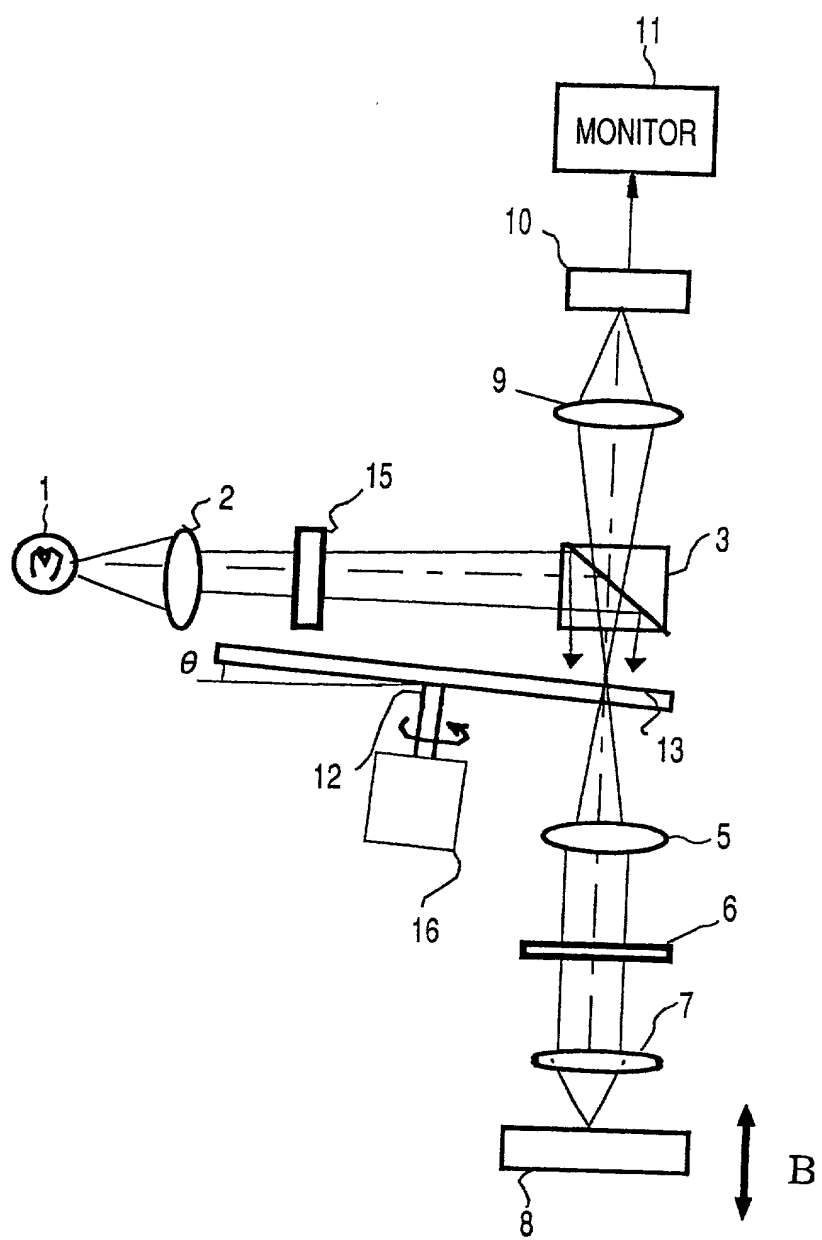


FIG. 26

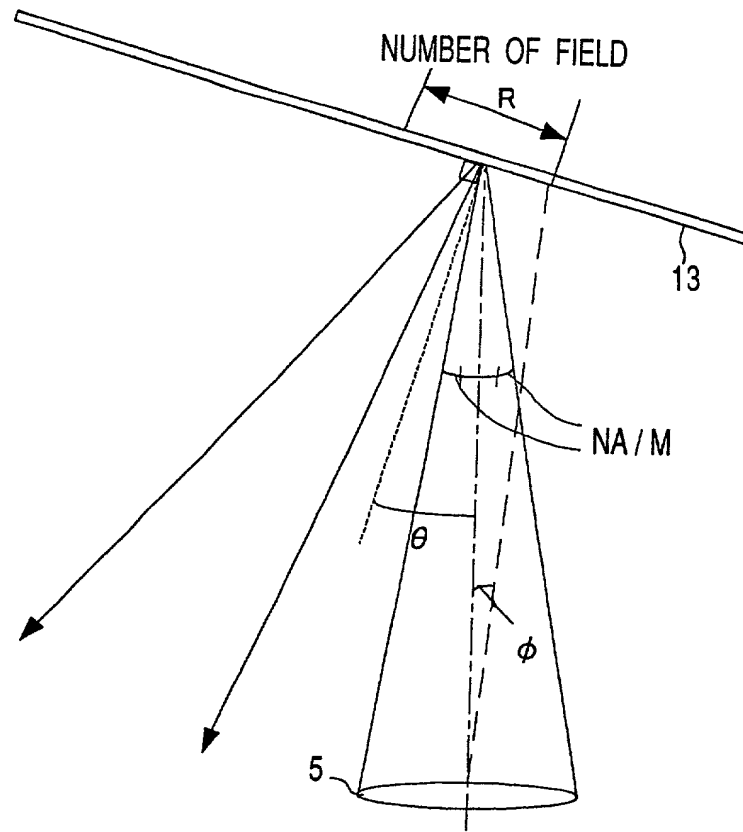


FIG. 27

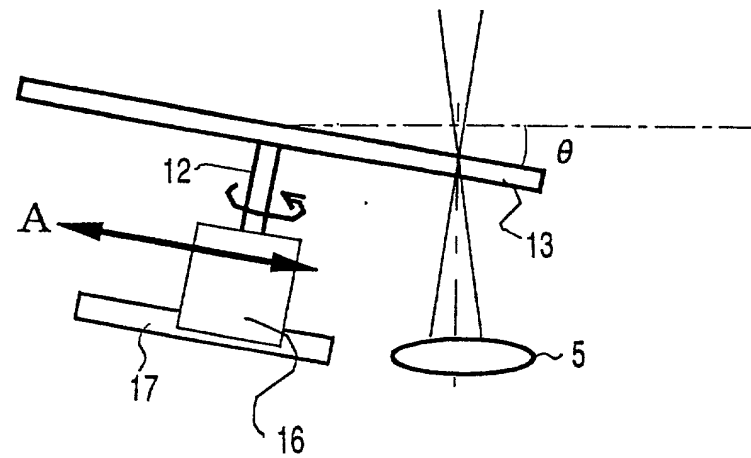


FIG. 28

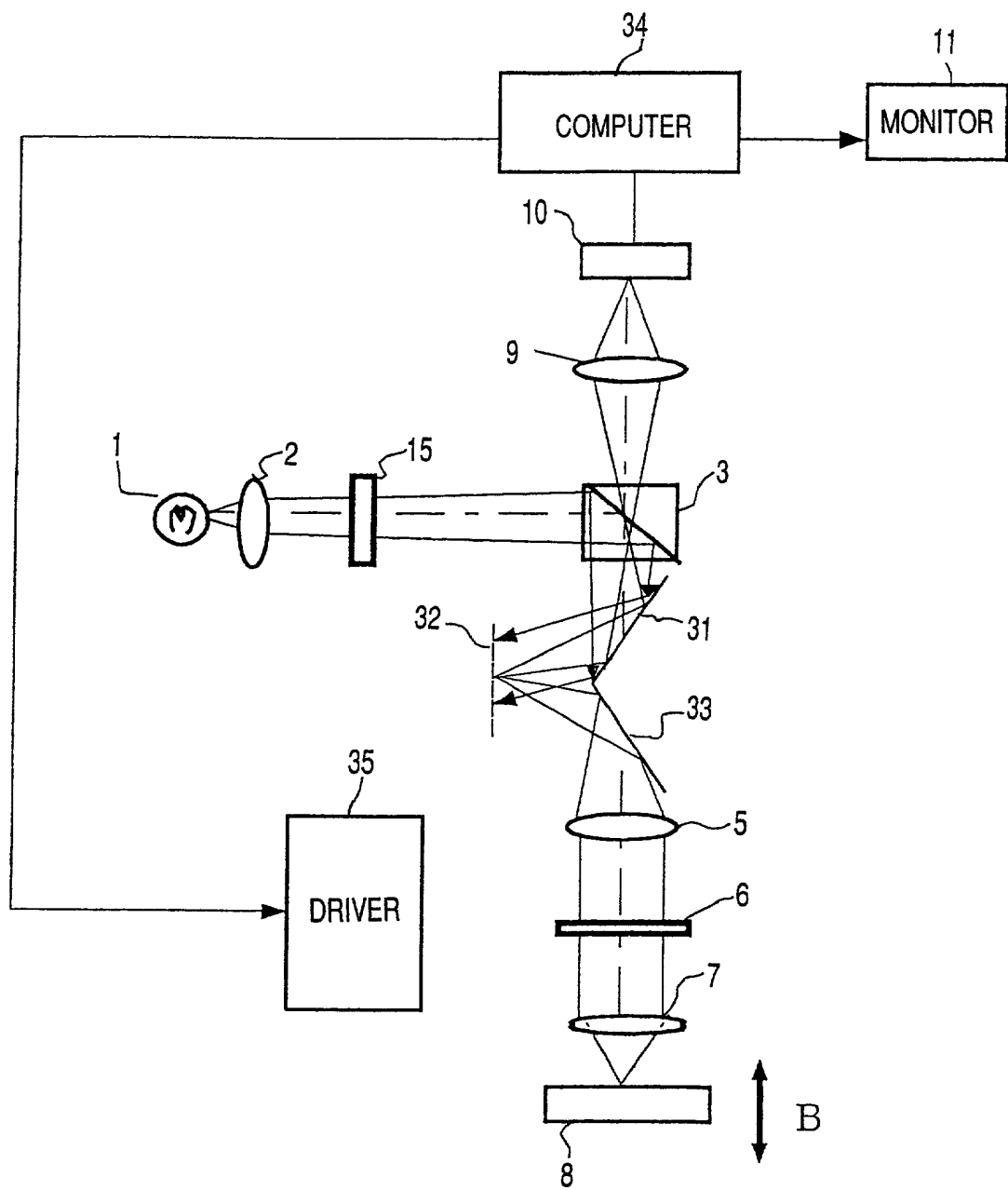


FIG. 29

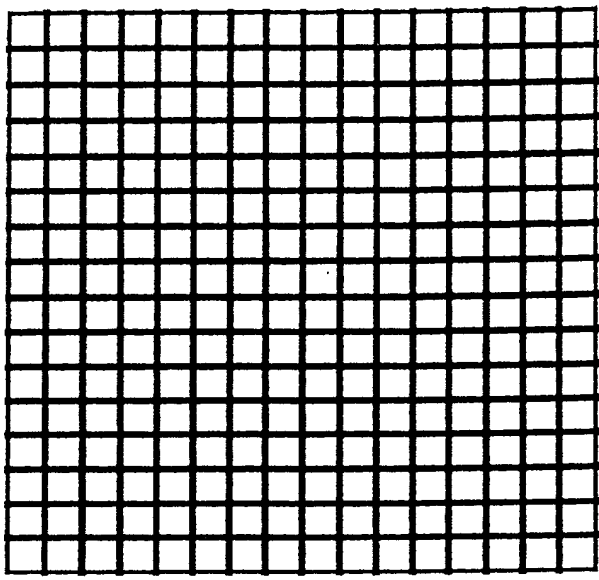


FIG. 30A



FIG. 30B

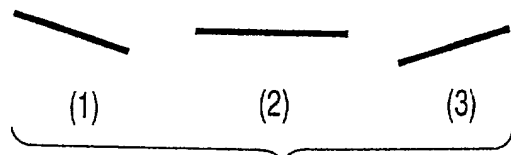


FIG. 30C

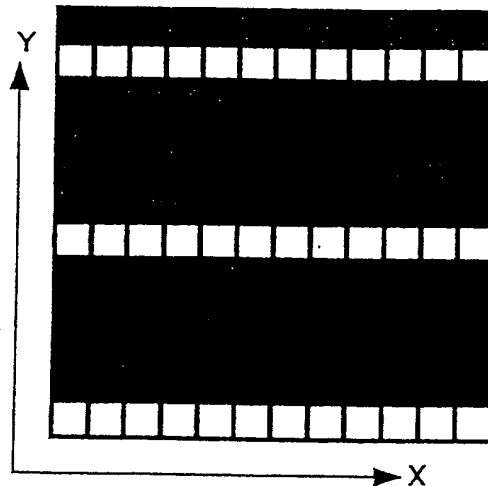


FIG. 31A

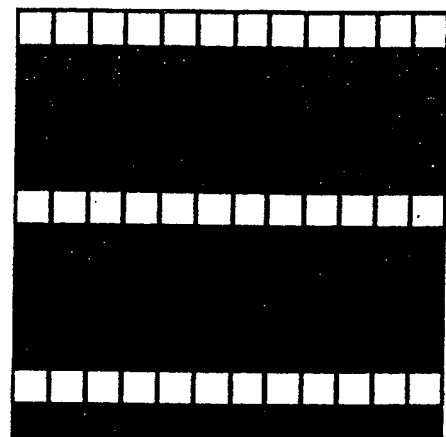


FIG. 31B

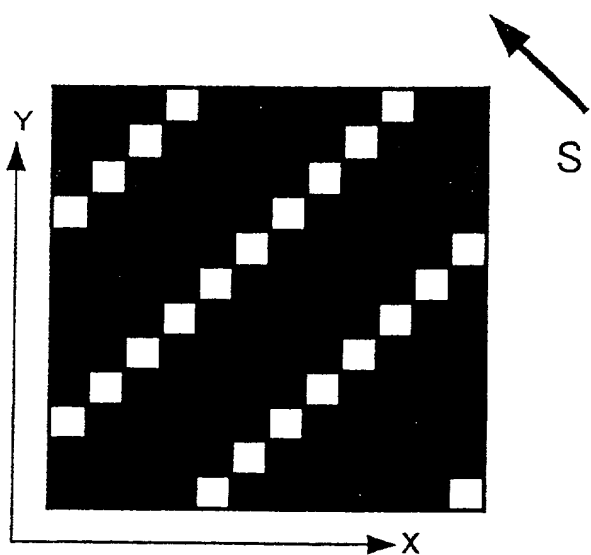


FIG. 32A

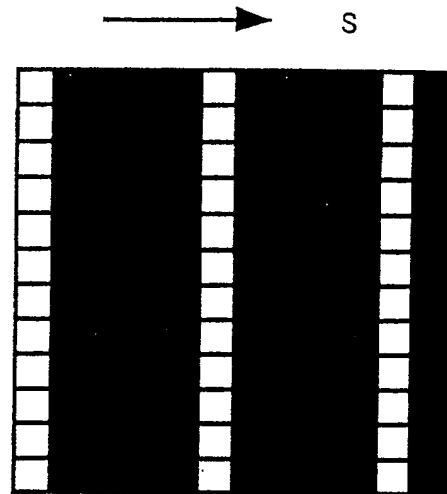


FIG. 32B

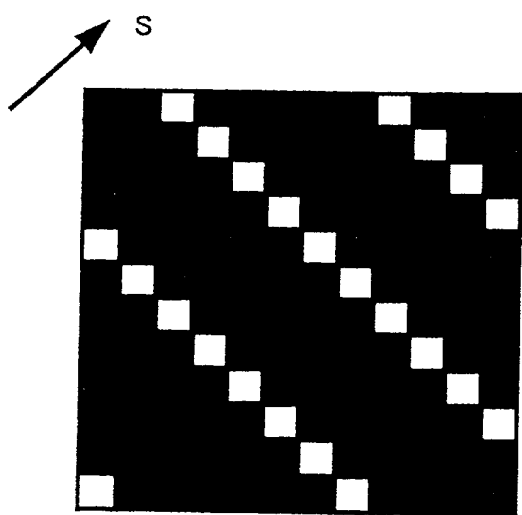


FIG. 32C

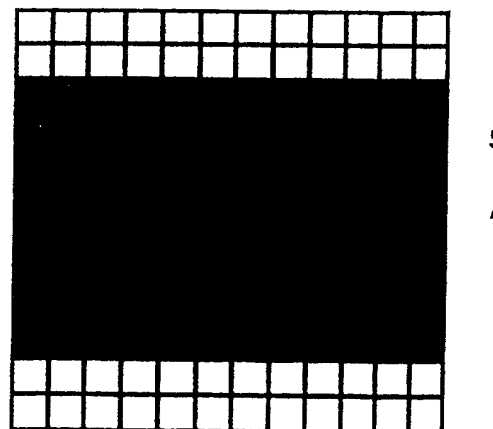


FIG. 32D

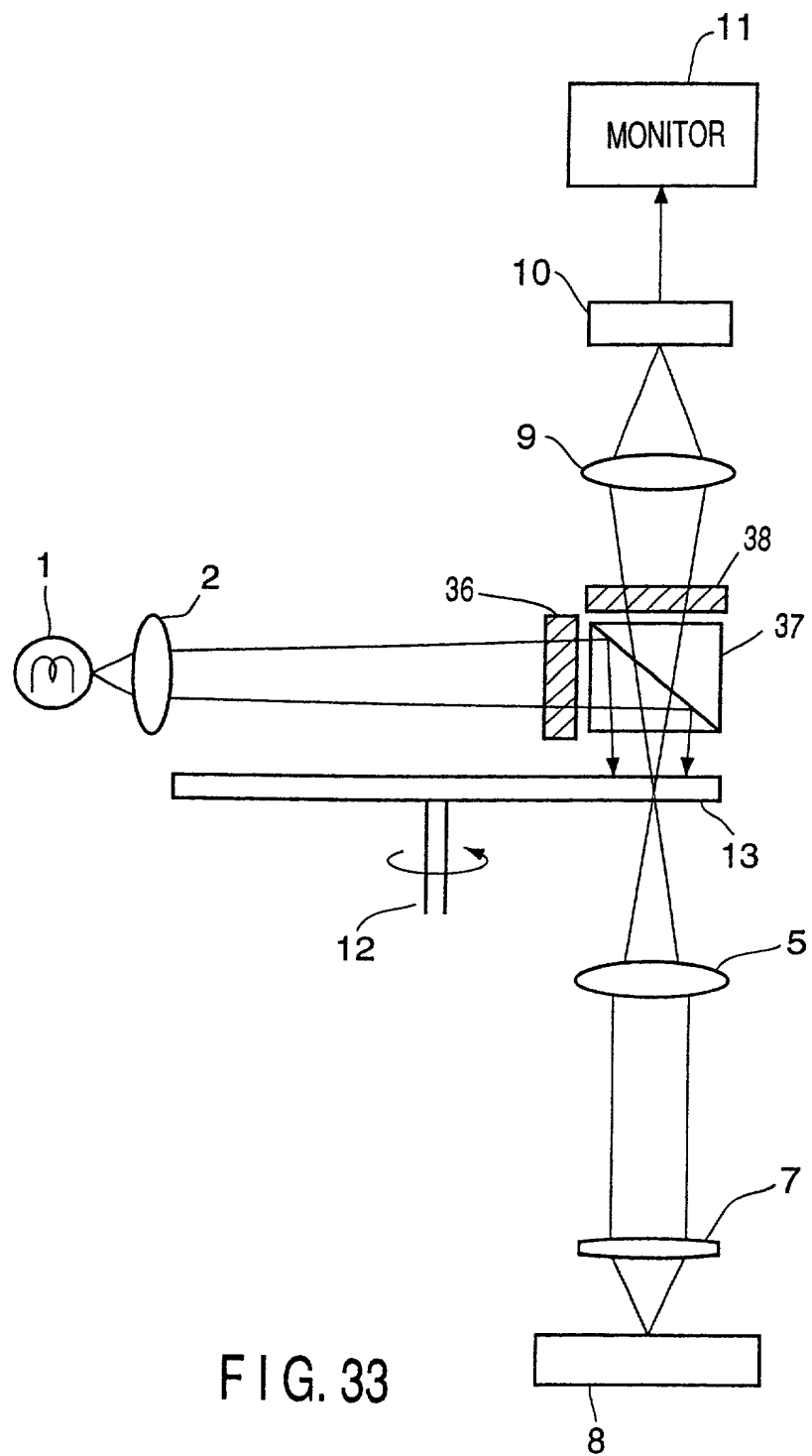


FIG. 33

23/23

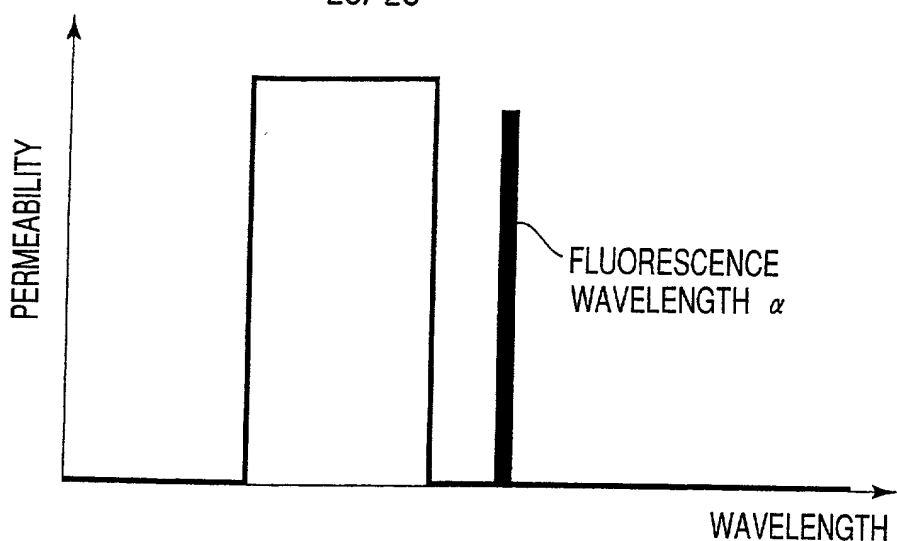


FIG. 34

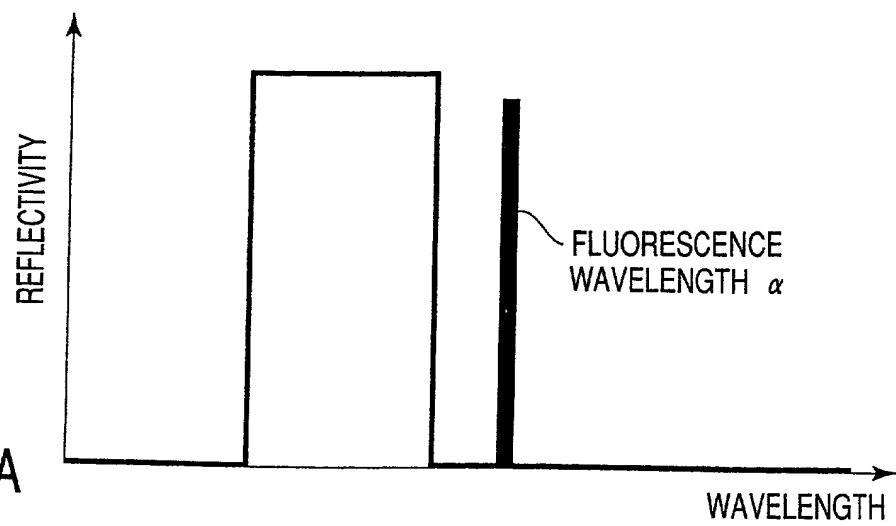


FIG. 35A

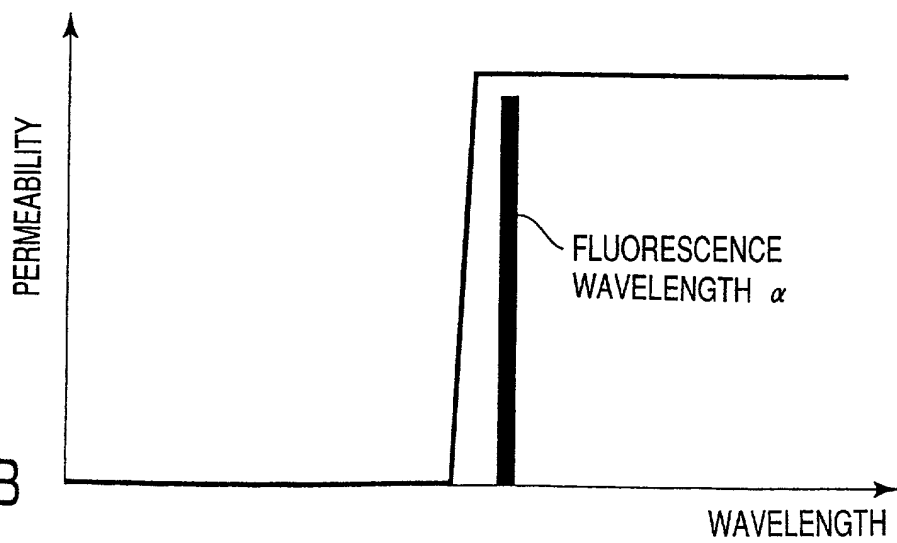


FIG. 35B